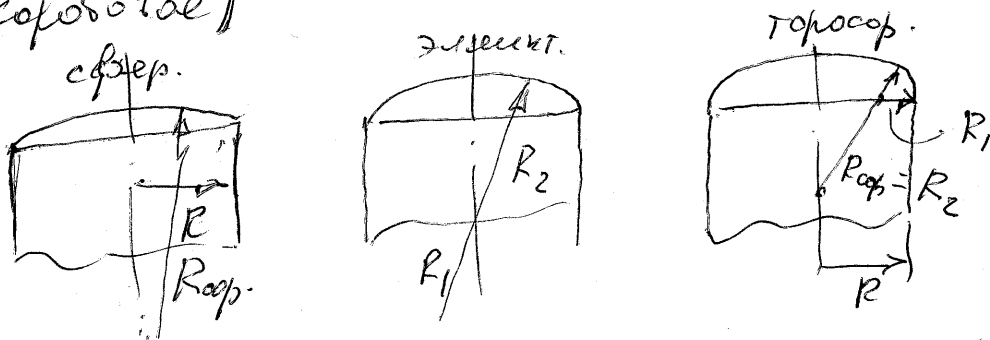
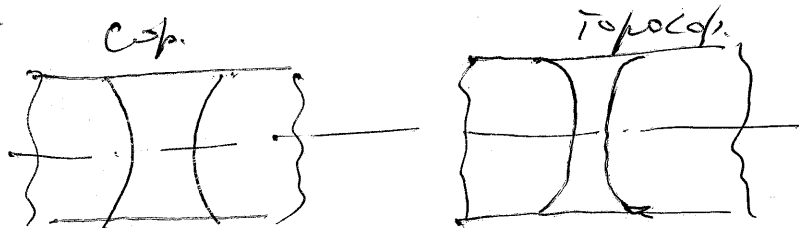


# Верхнее плечо точки вето боя.

Мы убедились, что сферическое плечо работает в шее. Хорошо. Но по технологии, конструкция из др. соображений применяют другие виды плечей. Например, сфероцилиндрическое, эллиптическое, тороидальное (скоро будет)



Выбор плеча определяется технологическими соображениями (проще сфероцилиндрическое), прочностными (это мы обсудим), объемом ( $V_{тор} > V_{элл.} > V_{сф.}$ ). Важно устройство межб. отсека. Для больших ракет как правило сфер. др., там диаметр отсека не важен, для малых ракет с ЖРД. предпочтительнее торосор., т.к. оно более полно закрывает межб. отсек.



Сравним эти плечи. Для упрощения оболочки

$P_{нз} \cdot \pi R^2 = 2 \pi R T$   
 $T = \frac{P_{нз} R}{2}$

$P_{нз} \cdot \pi R^2 = 2 \pi R T_1$   
 $T_1 = \frac{P_{нз} R}{2}$

из леммы

$$\frac{T_1}{R_1} + \frac{T_2}{R_2} = P_{нз}$$

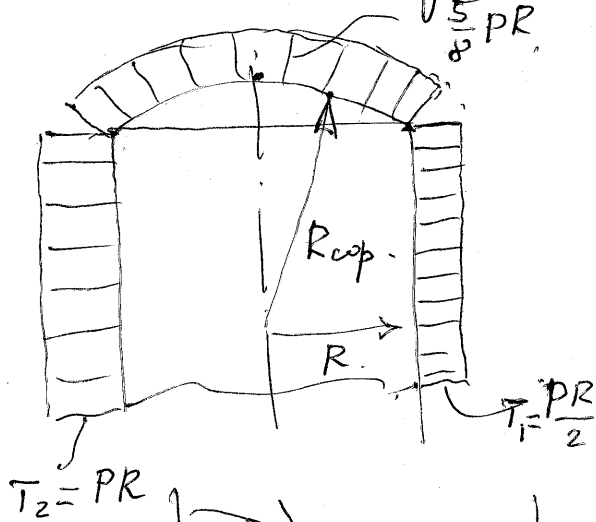
$\Rightarrow$

$$T_2 = P_{нз} \cdot R$$

Рассмотрим плечо с овальным вылетом

$\xi = \frac{\delta}{R} = 0,5$  и тогда отчит к D, тогда  $\xi_1 = \frac{\delta}{2R} = 0,25$

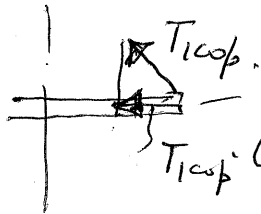
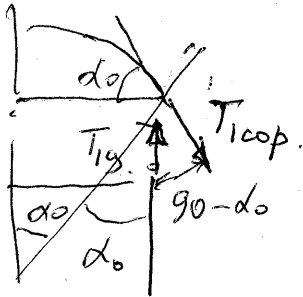
Сферическое гнездо.



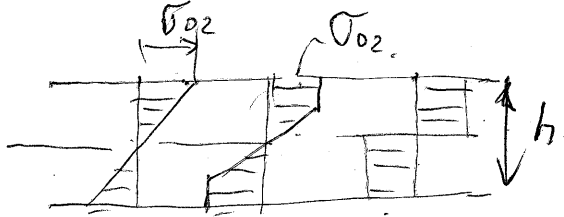
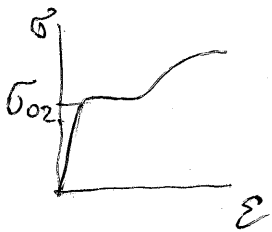
Для  $\gamma = 0,5$   $R_{cp} = \frac{5}{4} R$

Для гнезда  $T_1 = \frac{PR}{2}$ ,  $T_2 = PR$

Решая  $T_2 = \frac{PR_{cp}}{2} = \frac{P}{2} \cdot \frac{5}{4} R = \frac{5}{8} PR$

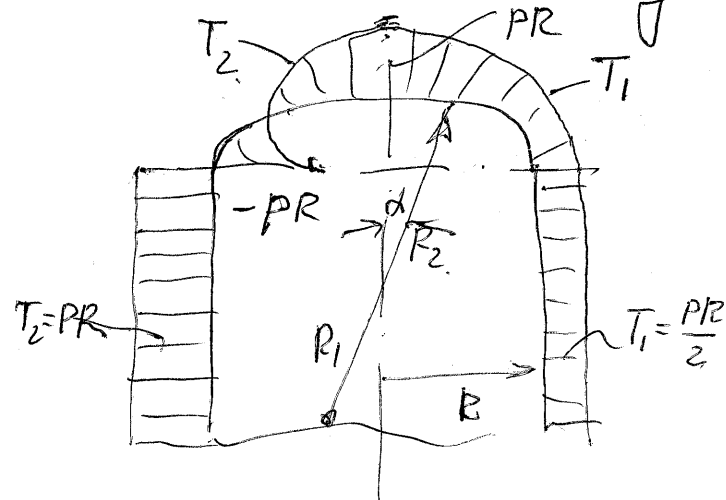


Сила  $T_{1cp}$  передается на материал. Если его не будет, то будет изгиб оболочки. Если материал не будет, то оболочка будет изгибаться. Если материал не будет, то оболочка будет изгибаться. Если материал не будет, то оболочка будет изгибаться.



Для такого решения заданы начальные условия с учетом краевого эффекта.

Фиделитарное гreekce.  
PR



Главные результаты кривизны неона  
записать через  $\omega$ .

$$R_1 = \frac{R}{\int (\cos^2 \alpha + \frac{1}{\int_2} \sin^2 \alpha)}^{3/2}$$

$$R_2 = \frac{R}{\sqrt{\cos^2 \alpha + \frac{1}{\xi^2} \sin^2 \alpha}}^{1/2}$$

Все закрыто кудина

$$T_1 = \frac{\rho R_2}{2} \quad T_2 = T_1 \left(2 - \frac{R_2}{R_1}\right).$$

$$\eta_1 = \frac{PR}{2} \frac{1}{\xi(C\alpha)^2 + \frac{1}{P^2} 814^2 \alpha}^{1/2} \quad \text{Del } \rightarrow \alpha$$

$$\frac{R_2}{R_1} = \frac{R(\frac{1}{\sqrt{2}})}{\frac{1}{\sqrt{2}}R} = (\cos^2 \alpha + \frac{1}{\sqrt{2}} \sin^2 \alpha)$$

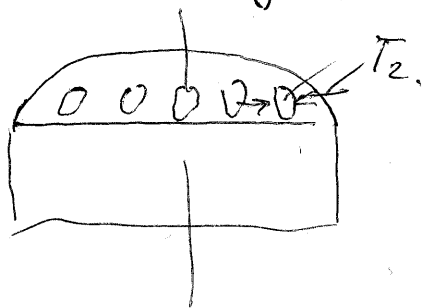
$$T_2 = T_1 \left[ 2 - (\cos^2 \alpha + \frac{1}{32} \sin^2 \alpha) \right]$$

$$\text{npu } \alpha = 0 \quad \zeta = 0,5 \quad T_1 = \frac{PR}{2} \frac{1}{\zeta^{1/2}} = PR = T_2$$

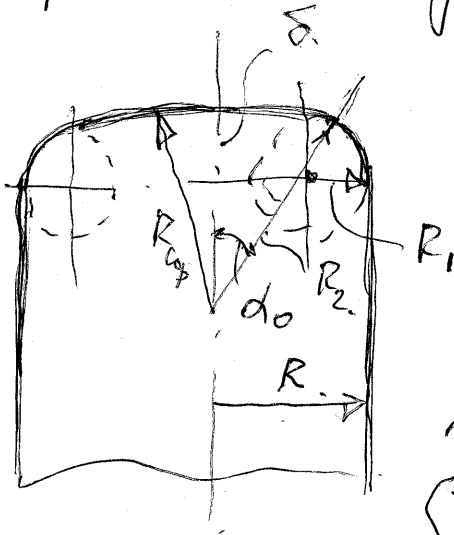
$$\text{npu } d = \frac{\sqrt{5}}{2} \quad T_1 = \frac{PR}{2} \frac{1}{0.5 \cdot \left( \frac{1}{0.5^2} \cdot 1 \right)^{1/2}} = \frac{PR}{2}$$

$$T_2 = \frac{PR}{2} \left[ 2 - \frac{1}{0.5^2} \cdot 1 \right] = \frac{PR}{2} (2 - 4) = -PR$$

В месте перехода эмитера и коллектора  
 $T_{12} = T_{13M}$ . Нет разницы сжат. Но из-за  
 стенок все равно есть т.к.  $T_2$  увеличивается от +PR  
 до -PR. Эмитер растянут а эмитер сжат. М.Б.  
 было потеря устойчивости.



Торосферическое гнездо.



Условно принимаем сферический  
тор  $R_{\text{сф}} = R_2$   
можно составить два уравнения

$$(R_{\text{сф}} - R_1) \sin \alpha_0 = R - R_1$$

$$(R_{\text{сф}} - R_1) \cos \alpha_0 = R_{\text{сф}} - \delta$$

Из последних уравнений

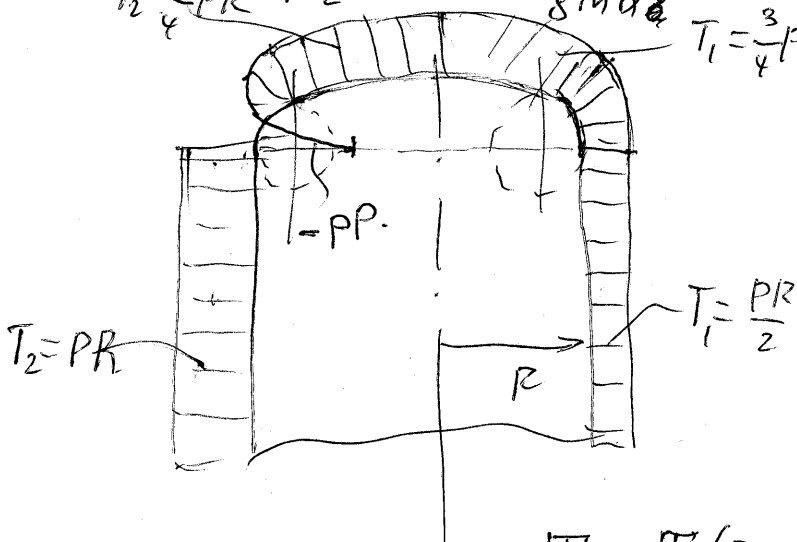
$$\begin{cases} \xi = \frac{\delta}{R} = [R_{\text{сф}} - (R_{\text{сф}} - R_1) \cos \alpha_0] \frac{1}{R} \\ (R_{\text{сф}} - R_1) \sin \alpha_0 = R - R_1 \end{cases}$$

Можно задать  $\xi$ ,  $R$  - известно, значит  $R_1 = R/4$   
и найти  $R_{\text{сф}} = \frac{3}{2} R$ ,  $\sin \alpha_0 = 0.6$

Найдем  $R_1$  и  $R_2$  для тора.  $R_1 = R/4$ .

$$T_2 = \frac{3}{4} PR \quad R_2 = R_1 + \frac{R - R_1}{\sin \alpha} = \frac{R - R_1(1 - \sin \alpha)}{\sin \alpha}$$

$$T_1 = \frac{3}{4} PR$$



Для сфер  $\alpha = 0$

$$T_1 = T_2 = \frac{PR_{\text{сф}}}{2} = \frac{P}{2} \cdot \frac{3}{2} R = \frac{3}{4} PR$$

Для тора  $\alpha = \frac{\pi}{2}$

$$\begin{aligned} T_1 &= \frac{PR_2}{2} = \frac{PR}{2} \frac{[1 - \frac{R_1(1 - \sin \alpha)}{R}]}{\sin \alpha} \\ &= \frac{PR}{2} \frac{1 - \frac{1}{4} \cdot 0}{1} = \frac{PR}{2} \end{aligned}$$

$$T_2 = T_1 \left( 2 - \frac{R_2}{R_1} \right) \neq$$

$$\neq \text{Тогда } \alpha = \frac{\pi}{2} \quad T_2 = \frac{PR}{2} \left( 2 - \frac{R - R_1(1 - \sin \alpha)}{R_1 \sin \alpha} \right) =$$

$$= \frac{PR}{2} \left( 2 - \frac{R - R_1(1 - 1)}{R_1 \cdot 1} \right) =$$

$$= \frac{PR}{2} (2 - 4) = -PR$$

Вывод тот же как для  
цилиндрического.

Результаты анализа функции,

Для цилиндра напряжения  $\sigma_1 = \frac{PR}{2h}$   $\sigma_2 = \frac{PR}{h}$   
от внутреннего давления нагрузки.

Для функции таблицы				
$\alpha$	Сфера	Эллипсоид	Торосфера	Макс-мин
0	$\sigma_1 = \frac{PR}{h} \frac{5}{8}$ $\sigma_2 = \frac{PR}{h} \frac{5}{8}$	$\sigma_1 = \frac{PR}{h}$ $\sigma_2 = \frac{PR}{h}$	$\sigma_1 = \frac{3}{4} PR$ $\sigma_2 = \frac{3}{4} PR$	Эллипсоид $\sigma_{max} = \frac{PR}{h}$
$\frac{\pi}{2}$	$\sigma_1 = \frac{PR}{h} \frac{5}{8}$ $\sigma_2 = \frac{PR}{h} \frac{5}{8}$	$\sigma_1 = \frac{PR}{2h}$ $\sigma_2 = -\frac{PR}{h}$	$\sigma_1 = \frac{PR}{2h}$ $\sigma_2 = -\frac{PR}{h}$	Эллипсоид, торосфера $\sigma_{max} = 1,3 \frac{PR}{h}$

### Вывод

Максимальные напряжения в точке функции при  $\alpha = \frac{\pi}{2}$  в 1,3 раза превосходят напряжения в цилиндрической оболочке.

Для пластичного материала б/м теория в целом хорошо характеризует процесс. В месте сопряжения оболочки и функции б/м теория не даёт точной картины, т.к. там обычно имеется концентрация напряжений вследствие краевого эффекта. Желательно более точное решение, но если его нет то пластичный материал в своем скачке напряжений образует пластический шарнир. Поэтому если нагрузка, то безомментный расчет будет оптимальным.